

## **ЦИЛИНДРИЧЕСКИЙ ИЗГИБ ПЛАСТИНЫ ИЗ НЕСЖИМАЕМОЕГО УПРУГОПЛАСТИЧЕСКОГО МАТЕРИАЛА**

**А. С. Бегун<sup>1,2</sup>**

<sup>1</sup>*Институт автоматики и процессов управления ДВО РАН*

<sup>2</sup>*Владивостокский государственный университет*

**Аннотация.** В рамках модели больших упругопластических деформаций рассматривается процесс деформирования несжимаемой пластины при возрастающем изгибающем моменте. Предполагается, что изгиб происходит в условиях плоской деформации. Считается, что каждая линия в поперечном сечении пластины переходит в соответствующую дугу окружности. Для описания недеформированного и деформированного состояний пластины используются декартова прямоугольная и цилиндрическая системы координат соответственно. Найдены условия начала пластического течения и закономерности его развития, рассчитаны поля напряжений и деформаций.

**Ключевые слова:** цилиндрический изгиб, большие деформации, упругопластический материал.

### **Введение**

Изгиб упругопластической пластины представляет теоретический и практический интерес, поэтому рассматривался неоднократно [1-4 и др.]. Классические решения основаны на теории Кирхгофа-Лява и описывают поведение пластин при малых перемещениях и деформациях. Одного современные технологии требуют расчета, учитывающего большие деформации, как обратимые, так и необратимые. Решения для чисто упругого конечного изгиба в условиях плоского деформированного состояния представлены в [1-2]. В работе [3] получены решения для изгиба упругопластических пластин в рамках эйлеровой модели конечных деформаций, основанной на логарифмической скорости. В [4] представлен обзор решений для жесткопластических и упругопластических материалов при использовании лагранжевого подхода.

### **1. Модельные соотношения**

Для описания процесса деформирования будем использовать модель больших деформаций [5]. В эйлеровой системе координат обратимые и необратимые деформации определяются дифференциальными уравнениями переноса:

$$d_{ij} = e_{ij} + p_{ij} - \frac{1}{2}e_{ik}e_{kj} - e_{ik}p_{kj} - p_{ik}e_{kj} + e_{ik}p_{ks}e_{sj},$$

$$\frac{De_{ij}}{Dt} = \varepsilon_{ij} - \gamma_{ij} - \frac{1}{2}((\varepsilon_{ik} - \gamma_{ik} + z_{ik})e_{kj} + e_{ik}(\gamma_{kj} - \varepsilon_{kj} - z_{kj})), \quad \frac{Dp_{ij}}{Dt} = \gamma_{ij} - p_{ik}\gamma_{kj} - \gamma_{ik}p_{kj},$$

$$\frac{Dn_{ij}}{Dt} = \frac{dn_{ij}}{dt} - r_{ik}n_{kj} + n_{ik}r_{kj}, \quad \varepsilon_{ij} = \frac{1}{2}(v_{i,j} + v_{j,i}), \quad r_{ij} = w_{ij} + z_{ij}(e_{ij}, \varepsilon_{ij}), \quad w_{ij} = \frac{1}{2}(v_{i,j} - v_{j,i}),$$

где  $u_i$  и  $v_i$  – компоненты векторов перемещений и скоростей точек среды,  $d_{ij}, e_{ij}, p_{ij}$  – компоненты тензоров полных, обратимых и пластических деформаций соответственно,  $r_{ij}$  – тензор вращений,  $\varepsilon_{ij}$  и  $\gamma_{ij}$  – компоненты скоростей полных и пластических деформаций.

## Актуальные проблемы прикладной математики, информатики и механики

Считаем, что напряжения в среде полностью определяются обратимыми деформациями, и связаны зависимостями:

$$\sigma_{ij} = -p_1 \delta_{ij} + \frac{\partial W}{\partial e_{ik}} (\delta_{kj} - e_{kj}),$$

$$W = (a - \mu) J_1 + a J_2 + b J_1^2 - k J_1 J_2 - \chi J_1^3, \quad J_1 = s_{jj}, \quad J_2 = s_{ik} s_{kj}, \quad s_{ij} = e_{ij} - \frac{1}{2} e_{ik} e_{kj}$$

Здесь  $\sigma_{ij}$  – компоненты тензора напряжений Эйлера-Коши,  $p_1$  – добавочное гидростатическое давление,  $W = W(e_{ij})$  – упругий потенциал (плотность распределения свободной энергии),  $\mu$  – модуль сдвига исследуемого материала,  $b$ ,  $\chi$  – упругие модули более высокого порядка.

Связь скоростей пластических деформаций  $\varepsilon_{ij}^p$  с напряжениями в условиях принимаемого принципа максимума Мизеса устанавливается ассоциированным законом пластического течения

$$\gamma_{ij} = \varepsilon_{ij}^p = \lambda \frac{\partial f}{\partial \sigma_{ij}}, \quad f(\sigma_{ij}, \varepsilon_{ij}^p) = k, \quad \lambda > 0.$$

В качестве условия пластичности используется условие

$$\max |\sigma_i - \sigma_j| = 2k,$$

где  $\sigma_i$ ,  $\varepsilon_k^p$  – главные значения тензоров напряжений и скоростей пластических деформаций,  $k$  – предел текучести.

### 2. Постановка задачи, основные кинематические соотношения.

Пусть недеформируемая прямоугольная пластина занимает область  $-h/2 \leq x_1 \leq h/2$ ,  $-l \leq x_2 \leq l$ ,  $-b \leq x_3 \leq b$  (рис. 1). Считаем, что под действием приложенного изгибающего момента  $M$  пластина деформируется так, что плоскости  $x_1 = \text{const}$ , переходят в сектора цилиндрических поверхностей  $r = \text{const}$ , а плоскости  $x_2 = \text{const}$  в плоскости  $\theta = \text{const}$ .

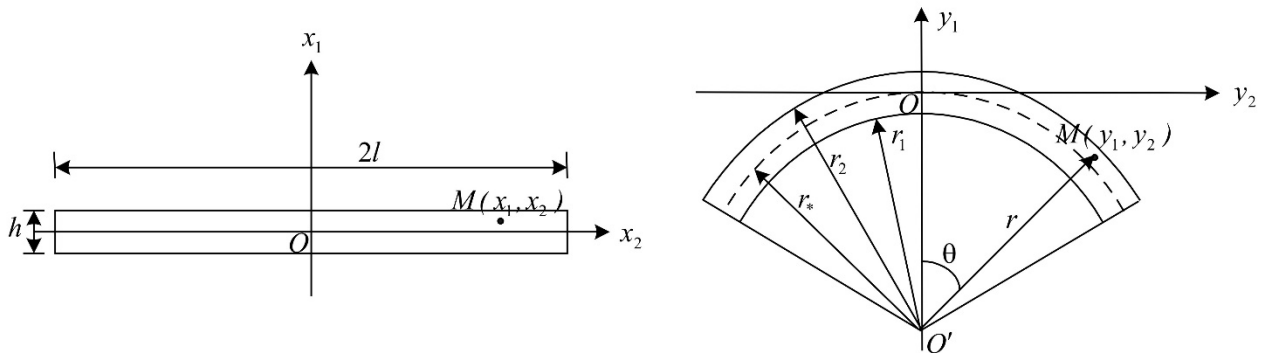


Рис.1. Недеформированное и деформированное состояние прямоугольной пластины при изгибе.

Начальные  $(x_1, x_2, x_3)$  и текущие  $(y_1, y_2, y_3)$  координаты связаны формулами:

$$y_1 = r(x_1) \cos \theta(x_2) - R^*, \quad y_2 = r(x_1) \sin \theta(x_2), \quad y_3 = x_3.$$

Используя условие несжимаемости найдем

$$r = \sqrt{R^2 + 2x_1 r_*}, \quad \theta = \frac{x_2}{r_*}, \quad r' = \frac{\partial r}{\partial x_1} = \frac{r_*}{r}, \quad \theta' = \frac{\partial \theta}{\partial x_2} = \frac{1}{r_*}$$

Если  $\mathbf{e}_1, \mathbf{e}_2, \mathbf{e}_3$  базисные вектора исходной декартовой системы координат, а  $\mathbf{e}_r, \mathbf{e}_\varphi, \mathbf{e}_z$  – базисные вектора текущей цилиндрической системы координат, тогда для тензора градиента деформаций  $\mathbf{F}$  и тензора деформаций Альманси  $\mathbf{d}$  получим

$$\mathbf{F} = r' \mathbf{e}_r \otimes \mathbf{e}_1 + r \theta' \mathbf{e}_\varphi \otimes \mathbf{e}_2, \quad \mathbf{d} = \frac{1}{2} \left( 1 - \left( \frac{r}{r_*} \right)^2 \right) \mathbf{e}_r \otimes \mathbf{e}_r + \frac{1}{2} \left( 1 - \left( \frac{r_*}{r} \right)^2 \right) \mathbf{e}_\varphi \otimes \mathbf{e}_\varphi.$$

Тензор градиента скоростей, тензор скоростей деформаций и тензор вращения определяются следующими равенствами

$$\begin{aligned} \mathbf{L} &= \frac{\dot{r}'}{r'} \mathbf{e}_r \otimes \mathbf{e}_r - \dot{\theta}' \mathbf{e}_r \otimes \mathbf{e}_\varphi + \dot{\theta}' \mathbf{e}_\varphi \otimes \mathbf{e}_r - \frac{\dot{r}'}{r'} \mathbf{e}_\varphi \otimes \mathbf{e}_\varphi, \quad \mathbf{\varepsilon} = \frac{\dot{r}'}{r'} \mathbf{e}_r \otimes \mathbf{e}_r - \frac{\dot{r}'}{r'} \mathbf{e}_\varphi \otimes \mathbf{e}_\varphi, \\ \mathbf{\Omega} &= -\dot{\theta}' \mathbf{e}_r \otimes \mathbf{e}_\varphi + \dot{\theta}' \mathbf{e}_\varphi \otimes \mathbf{e}_r. \end{aligned}$$

### 3. Упругое деформирование

До достижения изгибающим моментом  $M$  значения  $M_0$  вся пластина деформируется обратимо. Отличные от нуля компоненты тензора напряжения имеют вид

$$\begin{aligned} \sigma_{rr} &= -p + a - \mu - (k + 3\chi)(d_{rr} + d_{\varphi\varphi}) - (k + 3\chi)(d_{rr}^2 + d_{\varphi\varphi}^2) + 2\mu d_{rr} - 2(k + 2b + 2a)d_{rr}^2, \\ \sigma_{\varphi\varphi} &= -p + a - \mu - (k + 3\chi)(d_{rr} + d_{\varphi\varphi}) - (k + 3\chi)(d_{rr}^2 + d_{\varphi\varphi}^2) + 2\mu d_{\varphi\varphi} - 2(k + 2b + 2a)d_{\varphi\varphi}^2, \\ \sigma_{zz} &= -p + a - \mu + (2b - 3\chi)(d_{rr} + d_{\varphi\varphi}) - (k + 3\chi)(d_{rr}^2 + d_{\varphi\varphi}^2), \\ \sigma_{rr} - \sigma_{\varphi\varphi} &= 2\mu(d_{rr} - d_{\varphi\varphi}) - 2(k + 2b + 2a)(d_{rr}^2 - d_{\varphi\varphi}^2). \end{aligned}$$

Интегрируя уравнения равновесия

$$\frac{\partial \sigma_{rr}}{\partial r} = \frac{\sigma_{\varphi\varphi} - \sigma_{rr}}{r}, \quad \frac{\partial \sigma_{zz}}{\partial z} = 0$$

и считая, что внутренняя и внешняя поверхности свободны от напряжений ( $\sigma_{rr}(r_1) = \sigma_{rr}(r_2)$ ) найдем компоненты напряжений и изгибающий момент

$$\begin{aligned} \sigma_{rr} &= \frac{\mu}{2} \left( \frac{r^2 - r_1^2}{r_*^2} + r_*^2 \left( \frac{1}{r^2} - \frac{1}{r_1^2} \right) \right) - \frac{k + 2b + 2a}{2} \left( \frac{r^2 - r_1^2}{r_*^2} + r_*^2 \left( \frac{1}{r^2} - \frac{1}{r_1^2} \right) \right) - \frac{r^4 - r_1^4}{4r_*^4} - \frac{r_*^4}{4} \left( \frac{1}{r^4} - \frac{1}{r_1^4} \right), \\ \sigma_{\varphi\varphi} &= \sigma_{rr} + \mu \left( \frac{r^2}{r_*^2} - \frac{r_*^2}{r^2} \right) - \frac{k + 2b + 2a}{2} \left( 2 \frac{r^2}{r_*^2} - 2 \frac{r_*^2}{r^2} - \frac{r^4}{r_*^4} + \frac{r_*^4}{r^4} \right), \quad r_*^2 = r_2 r_1, \\ M &= \int_{r_1}^{r_2} r \sigma_{\varphi\varphi} = \frac{\mu}{2} \left( \frac{r_2^4 - r_1^4}{4r_*^2} + r_*^2 \ln \frac{r_2}{r_1} \right) - \frac{k + 2b + 2a}{4} \left( \frac{r_2^4 - r_1^4}{2r_*^2} - 2r_*^2 \ln \frac{r_2}{r_1} - \frac{r_*^4}{2} \left( \frac{1}{r_2^2} - \frac{1}{r_1^2} \right) - \frac{r_2^6 - r_1^6}{6r_*^4} \right). \end{aligned}$$

Задавая изгибающий момент и используя соотношения  $r_*^2 = r_2 r_1$ ,  $r_2^2 - r_1^2 = 2hr_*$  можно получить уравнение для определения положения нейтральной линии  $r_*$ . Далее находятся внутренняя  $r_1$  и внешняя  $r_2$  цилиндрические поверхности, деформации и напряжения.

## Актуальные проблемы прикладной математики, информатики и механики

Условие пластичности в рассматриваемом случае записывается в виде  $|\sigma_{rr} - \sigma_{\varphi\varphi}| = 2k$ , Согласно выведенным соотношениям, напряженное состояние достигнет предела текучести одновременно на внутренней  $r = r_1$  и внешней  $r = r_2$  цилиндрической поверхности.

### 4. Пластическое течение

После того как изгибающий момент  $M$  достигнет значения  $M_0$ , в пластине будут упругая область  $r_1^p \leq r \leq r_2^p$  и две пластические области  $r_2^p \leq r \leq r_2$  и  $r_1 \leq r \leq r_1^p$ , развивающиеся от внешней и внутренней границы соответственно. В областях пластического течения найдем

$$r_1 \leq r \leq r_1^p :$$

$$\sigma_{\varphi\varphi} - \sigma_{rr} = -2k, \quad \sigma_{rr} = 2k \ln \frac{r_1}{r}, \quad \sigma_{\varphi\varphi} = 2k \left( \ln \frac{r_1}{r} - 1 \right);$$

$$r_2^p \leq r \leq r_2 :$$

$$\sigma_{\varphi\varphi} - \sigma_{rr} = 2k, \quad \sigma_{rr} = 2k \ln \frac{r}{r_2}, \quad \sigma_{\varphi\varphi} = 2k \left( \ln \frac{r}{r_2} - 1 \right).$$

В области обратимого деформирования  $r_1^p \leq r \leq r_2^p$  имеем:

$$\begin{aligned} \sigma_{rr} &= -\frac{k+2b+2a}{2} \left( \frac{r^2 - r_1^{p2}}{r_*^2} + r_*^2 \left( \frac{1}{r^2} - \frac{1}{r_1^{p2}} \right) - \frac{r^4 - r_1^{p2}}{4r_*^4} - \frac{r_*^4}{4} \left( \frac{1}{r^4} - \frac{1}{r_1^{p2}} \right) \right) + \\ &+ \frac{\mu}{2} \left( \frac{r^2 - r_1^{p2}}{r_*^2} + r_*^2 \left( \frac{1}{r^2} - \frac{1}{r_1^{p2}} \right) \right) + 2k \ln \frac{r_1}{r_1^{p2}}, \\ \sigma_{\varphi\varphi} &= \sigma_{rr} + \mu \left( \frac{r^2}{r_*^2} - \frac{r_*^2}{r^2} \right) - \frac{k+2b+2a}{2} \left( 2 \frac{r^2}{r_*^2} - 2 \frac{r_*^2}{r^2} - \frac{r^4}{r_*^4} + \frac{r_*^4}{r^4} \right). \end{aligned}$$

Используя предыдущие соотношения можно получить систему алгебраических уравнений для определения положения нейтральной линии  $r_*$ , внутренней  $r_1$ , внешней  $r_2$  поверхностей и упругопластических границ  $r_1^p$  и  $r_2^p$ . Далее находим компоненты тензора напряжений и тензора деформаций Альманси. В упругой области  $r_1^p \leq r \leq r_2^p$  для компонент обратимых деформаций справедливы формулы

$$e_{rr} = 1 - \sqrt{1 - 2d_{rr}} = 1 - \frac{r}{r_*}, \quad e_{\varphi\varphi} = 1 - \sqrt{1 - 2d_{\varphi\varphi}} = 1 - \frac{r_*}{r}.$$

В областях пластического течения обратимые деформации не изменяются и равны в каждой точке значению в тот момент времени, когда до нее дошла упругопластическая граница. Компоненты пластических деформаций через полные и обратимые деформации находятся по формулам

$$p_{rr} = \frac{1}{2} - \frac{1 - 2d_{rr}}{2(e_{rr} - 1)^2}, \quad p_{\varphi\varphi} = \frac{1}{2} - \frac{1 - 2d_{\varphi\varphi}}{2(e_{\varphi\varphi} - 1)^2}.$$

### Заключение

## **Актуальные проблемы прикладной математики, информатики и механики**

В рамках модели больших упругопластических деформаций получено решение о цилиндрическом изгибе прямоугольной пластины. Найдены условия зарождения и продвижения упругопластических границ. Рассчитаны поля напряжений и полных, обратимых и необратимых деформаций. Представленное решение может в дальнейшем использоваться для задачи разгрузки пластины при постепенном уменьшении изгибающего момента.

### **Благодарности**

Работа выполнена в рамках государственных заданий ИАПУ ДВО РАН (темы № FWFW-2021-0005).

### **Литература**

1. Kassianidid F. On large bending deformations of transversely isotropic rectangular elastic blocks / F. Kassianidid, R. Ogden // Note di Matematica. - 2007. - Vol. 27, № 2. - P. 131-154.
2. Черных К. Ф. Нелинейная теория упругости в машиностроительных расчетах / К. Ф. Черных. - Л. : Машиностроение, 1986. - 336 с.
3. Bruhns O. T. Bending of an elastoplastic strip with isotropic and kinematic hardening / O. T. Bruhns, N. K. Gupta, A. T. M. Meyers, H. Xiao // Archive of Applied Mechanics. - 2003. - Vol. 72. - P. 759-778.
4. Alexandrov S. Plastic Bending at Large Strain: A Review / S. Alexandrov, E. Lyamina, Y.-M. Hwang // Processes. - 2021. - Vol. 9, iss. 3. - Art. no. 406.
5. Буренин А. А. Об одной простой модели для упругопластической среды при конечных деформациях / А. А. Буренин, Г. И. Быковцев, Л. В. Ковтанюк // Доклады Академии наук. - 1996. - Т. 347, № 2. - С. 199-201.

### **Информация об авторах**

**Бегун Александра Сергеевна** – канд. физ.-мат. наук, науч. сотр. лаборатории Механики необратимого деформирования Института автоматики и процессов управления ДВО РАН, доц., доцент кафедры Математики и моделирования Владивостокского государственного университета. E-mail: asustinova@mail.ru